

УДК 539.3

**ЧИСЛЕННЫЙ АНАЛИЗ ВЛИЯНИЯ СТРУКТУРЫ
АРМИРОВАНИЯ НА ДИНАМИЧЕСКОЕ ПОВЕДЕНИЕ
КОМПОЗИТНЫХ ЦИЛИНДРИЧЕСКИХ ОБОЛОЧЕК
ПРИ ВЗРЫВНОМ НАГРУЖЕНИИ^{*)}**

© 2012 г.

Н.А. Абросимов, А.В. Елесин

НИИ механики Нижегородского государственного университета им. Н.И. Лобачевского

abrosimov@mech.unn.ru

Поступила в редакцию 27.09.2012

Рассматривается методика численного анализа влияния углов армирования и схемы чередования слоев на максимальные окружные деформации слоистых композитных цилиндрических оболочек, нагруженных однократным импульсом внутреннего давления.

Ключевые слова: композитные материалы, импульсное нагружение, численные методы.

Введение

Композитные материалы на основе высокомодульных волокон находят широкое применение при создании защитных силовых конструкций, обеспечивающих локализацию продуктов взрыва [1]. Использование композитных материалов позволяет создавать конструкции, обладающие рядом преимуществ (меньшей массой, повышенной трещиностойкостью, некатастрофическим характером разрушения, отсутствием сильных масштабных эффектов) по сравнению с аналогами, выполненными из традиционных гомогенных материалов. Экспериментально установлена [2] существенная зависимость локальных напряжений и деформаций в слоях от различной ориентации силовых волокон на уровне слоя в сложном слоистом пакете. При этом возникает задача поиска такой структуры слоистого пакета (углов армирования и схемы чередования), которая позволила бы наиболее полно использовать высокие жесткостные и прочностные характеристики композитных материалов при растяжении вдоль силовых волокон.

Цель данной работы – численный анализ влияния углов армирования и схемы чередования слоев на максимальные окружные деформации слоистых стеклопластиковых цилиндрических оболочек со свободными торцами, нагруженных однократным импульсом внутреннего давления от взрыва в центре оболочки сферического заряда взрывчатого вещества (ВВ).

^{*)}Работа выполнена при частичном финансировании Программой государственной поддержки ведущих научных школ РФ (грант НШ-2843.2012.8).

1. Постановка и метод решения задачи

Цилиндрическую оболочку длиной L и радиусом R отнесем к системе координат α_i ($i = 1, 3$): α_1 направлена вдоль образующей, α_2 – по окружности, α_3 – по внешней нормали к внутренней поверхности. При этом коэффициенты первой квадратичной формы и главные кривизны будут такими: $A_1 = A_2 = 1$, $k_1 = 0$, $k_2 = 1/R$.

При построении геометрических зависимостей будем исходить из соотношений квадратичного варианта нелинейной теории упругости [3], которые с учетом недеформируемости материала пластины в направлении координаты α_3 и осреднения деформаций сдвига по толщине пластины можно представить в виде:

$$\begin{aligned} e_{11} &= \frac{1}{Z_1} \left[\varepsilon_{11} + \frac{\varepsilon_{13}^2}{2} + \alpha_3 \kappa_{11} \right], & e_{13} &= \frac{1}{Z_1} (\varphi_1 + \varepsilon_{13}), & (1 \Leftrightarrow 2), \\ e_{12} &= \frac{1}{Z_1} \varepsilon_{12} + \frac{1}{Z_2} \varepsilon_{21} + \frac{Z_1 + Z_2}{2Z_1 Z_2} \varepsilon_{13} \varepsilon_{23} + \alpha_3 \left(\frac{1}{Z_1} \kappa_{12} + \frac{1}{Z_2} \kappa_{21} \right), \end{aligned} \quad (1)$$

где

$$\begin{aligned} \varepsilon_{11} &= \frac{\partial U_1}{\partial \alpha_1}, & \varepsilon_{22} &= \frac{\partial U_2}{\partial \alpha_2} + k_2 U_3, & \varepsilon_{12} &= \frac{\partial U_2}{\partial \alpha_1}, & \varepsilon_{21} &= \frac{\partial U_1}{\partial \alpha_2}, & \varepsilon_{13} &= \frac{\partial U_3}{\partial \alpha_1}, & \varepsilon_{23} &= \frac{\partial U_3}{\partial \alpha_2} - k_2 U_2, \\ \kappa_{11} &= \frac{\partial \varphi_1}{\partial \alpha_1}, & \kappa_{22} &= \frac{\partial \varphi_2}{\partial \alpha_2}, & \kappa_{12} &= \frac{\partial \varphi_2}{\partial \alpha_1}, & \kappa_{21} &= \frac{\partial \varphi_1}{\partial \alpha_2}, \\ Z_1 &= 1, & Z_2 &= 1 + k_2 \alpha_3; \end{aligned}$$

$U_i(\alpha_1, \alpha_2)$ ($i = 1, 3$) – перемещения точек внутренней поверхности в направлениях α_i ; φ_j ($j = 1, 2$) – углы поворота нормали к внутренней поверхности.

Соотношения упругости композитной слоистой оболочки устанавливаются на основе метода эффективных модулей и закона Гука с учетом ступенчатого изменения жесткостных характеристик по толщине оболочки. При этом для описания напряженного состояния композитных оболочек более естественной является формулировка определяющих соотношений посредством введения обобщенных силовых факторов – усилий и моментов

$$(N_{11}, N_{12}, M_{11}, M_{12}, Q_1) = \int_0^h (\sigma_{11}, \sigma_{12}, \alpha_3 \sigma_{11}, \alpha_3 \sigma_{12}, \sigma_{13}) Z_2 d\alpha_3, \quad (1 \Leftrightarrow 2), \quad (2)$$

где h – толщина оболочки.

Из (2) получаем выражения для физических соотношений в виде [4, 5]:

$$\begin{aligned} N_{11} &= B_{11} \bar{\varepsilon}_{11} + B_{12} \bar{\varepsilon}_{22} + C_{11} \kappa_{11} + C_{12} \kappa_{22}, \\ N_{12} &= B_{33}^{11} \bar{\varepsilon}_{12} + B_{33}^{12} \bar{\varepsilon}_{21} + C_{33}^{11} \kappa_{12} + C_{33}^{12} \kappa_{21}, \\ M_{11} &= C_{11} \bar{\varepsilon}_{11} + C_{12} \bar{\varepsilon}_{22} + D_{11} \kappa_{11} + D_{12} \kappa_{22}, & (1 \Leftrightarrow 2), \\ M_{12} &= C_{33}^{11} \bar{\varepsilon}_{12} + C_{33}^{12} \bar{\varepsilon}_{21} + D_{33}^{11} \kappa_{12} + D_{33}^{12} \kappa_{21}, \\ Q_1 &= K_1 (\varepsilon_{13} + \varphi_1), \end{aligned} \quad (3)$$

где

$$\bar{\varepsilon}_{11} = \varepsilon_{11} + \varepsilon_{13}^2/2; \quad \bar{\varepsilon}_{12} = \varepsilon_{12} + \varepsilon_{13} \varepsilon_{23}/2,$$

$$\begin{aligned}
B_{jj} &= I_{jj}^{(0)}, \quad B_{12} = B_{21} = J_{12}^{(0)}, \quad C_{jj} = I_{jj}^{(1)}, \quad C_{12} = C_{21} = J_{12}^{(1)}, \\
B_{33}^{jj} &= I_{33,jj}^{(0)}, \quad B_{33}^{12} = B_{33}^{21} = J_{33}^{(0)}, \quad C_{33}^{jj} = I_{33,jj}^{(1)}, \quad C_{33}^{12} = C_{33}^{21} = J_{33}^{(1)}, \\
D_{jj} &= I_{jj}^{(2)}, \quad D_{12} = D_{21} = J_{12}^{(2)}, \quad D_{33}^{jj} = I_{33,jj}^{(2)}, \quad D_{33}^{12} = D_{33}^{21} = J_{33}^{(2)}, \\
K_j &= h^2 \left[\sum_{\kappa=1}^K \frac{H_j^{(\kappa)} h_\kappa}{G_{j3}^{(\kappa)}} \right]^{-1}, \quad H_1^{(\kappa)} = \frac{1 + \bar{h}_\kappa k_1}{1 + \bar{h}_\kappa k_2}, \quad (1 \Leftrightarrow 2) \quad (j=1,2), \\
h_\kappa &= z_\kappa - z_{\kappa-1}, \quad \bar{h}_\kappa = (z_\kappa + z_{\kappa-1})/2, \\
I_{11}^{(i)} &= \frac{1}{i+1} \sum_{\kappa=1}^K A_{11}^{(\kappa)} H_2^{(\kappa)} (z_\kappa^{i+1} - z_{\kappa-1}^{i+1}) \quad (i=0,1,2), \quad (1 \Leftrightarrow 2), \\
I_{33,11}^{(i)} &= \frac{1}{i+1} \sum_{\kappa=1}^K A_{33}^{(\kappa)} H_2^{(\kappa)} (z_\kappa^{i+1} - z_{\kappa-1}^{i+1}), \\
J_{12}^{(i)} &= \frac{1}{i+1} \sum_{\kappa=1}^K A_{12}^{(\kappa)} (z_\kappa^{i+1} - z_{\kappa-1}^{i+1}), \\
J_{33}^{(i)} &= \frac{1}{i+1} \sum_{\kappa=1}^K A_{33}^{(\kappa)} (z_\kappa^{i+1} - z_{\kappa-1}^{i+1}) \quad (i=0,1,2),
\end{aligned}$$

$A_{ij}^{(\kappa)}, G_{j3}^{(\kappa)}$ – эффективные жесткостные характеристики слоя; z_κ – координаты слоев, отсчитываемые от внутренней поверхности оболочки.

Вывод уравнений движения композитной цилиндрической оболочки базируется на принципе возможных перемещений [6], который для оболочки со свободными торцами может быть записан в виде

$$\begin{aligned}
& \iint_F \left[N_{11} \frac{\partial(\delta U_1)}{\partial \alpha_1} + N_{21} \frac{\partial(\delta U_1)}{\partial \alpha_2} + N_{22} \frac{\partial(\delta U_2)}{\partial \alpha_2} + N_{12} \frac{\partial(\delta U_2)}{\partial \alpha_1} \right. \\
& \left. - (Q_2 + N_{22} \varepsilon_{23} + N_{21} \varepsilon_{13}) k_2 \delta U_2 + (Q_1 + N_{12} \varepsilon_{23} + N_{11} \varepsilon_{13}) \frac{\partial(\delta U_3)}{\partial \alpha_1} + \right. \\
& \left. + (Q_2 + N_{21} \varepsilon_{13} + N_{22} \varepsilon_{23}) \frac{\partial(\delta U_3)}{\partial \alpha_2} + N_{22} k_2 \delta U_3 + M_{11} \frac{\partial(\delta \varphi_1)}{\partial \alpha_1} + M_{21} \frac{\partial(\delta \varphi_1)}{\partial \alpha_2} + Q_1 \delta \varphi_1 + \right. \\
& \left. + M_{22} \frac{\partial(\delta \varphi_2)}{\partial \alpha_2} + M_{12} \frac{\partial(\delta \varphi_2)}{\partial \alpha_1} + Q_2 \delta \varphi_2 \right] d\alpha_1 d\alpha_2 + \quad (4) \\
& + \iint_F \left[(\bar{B}_{11} \ddot{U}_1 + \bar{B}_{12} \ddot{\varphi}_1) \delta U_1 + (\bar{B}_{11} \ddot{U}_2 + \bar{B}_{12} \ddot{\varphi}_2) \delta U_2 + \bar{B}_{11} \ddot{U}_3 \delta U_3 + \right. \\
& \left. + (\bar{B}_{22} \ddot{\varphi}_1 + \bar{B}_{21} \ddot{U}_1) \delta \varphi_1 + (\bar{B}_{22} \ddot{\varphi}_2 + \bar{B}_{21} \ddot{U}_2) \delta \varphi_2 \right] d\alpha_1 d\alpha_2 - \iint_F \sum_{i=1,3} P_i \delta U_i d\alpha_1 d\alpha_2 = 0,
\end{aligned}$$

где

$$\bar{B}_{11} = \rho(h + k_2 h^2 / 2); \quad \bar{B}_{22} = \rho(h^3 / 3 + k_2 h^4 / 4); \quad \bar{B}_{12} = \bar{B}_{21} = \rho(h^2 / 2 + k_2 h^3 / 3);$$

P_i ($i=1,3$) – компоненты внешней нагрузки по направлениям координатных осей α_i ; ρ – плотность материала оболочки; точка над буквой означает производную по времени.

Применяя к (4) известную процедуру преобразования интегралов, получим систему уравнений движения композитной цилиндрической оболочки

$$\begin{aligned} L_1(N) + P_1 &= \bar{B}_{11}\ddot{U}_1 + \bar{B}_{12}\ddot{\Phi}_1, & L_2(N) + Q_{22}k_2 + P_2 &= \bar{B}_{11}\ddot{U}_2 + \bar{B}_{12}\ddot{\Phi}_2, \\ L_1(M) - Q_1 &= \bar{B}_{22}\ddot{\Phi}_1 + \bar{B}_{21}\ddot{U}_1, & L_2(M) - Q_2 &= \bar{B}_{22}\ddot{\Phi}_2 + \bar{B}_{21}\ddot{U}_2, \\ L_1(T) &= \frac{\partial T_{11}}{\partial \alpha_1} + \frac{\partial T_{21}}{\partial \alpha_2}, \end{aligned} \quad (5)$$

$$\frac{\partial Q_{11}}{\partial \alpha_1} + \frac{\partial Q_{22}}{\partial \alpha_2} - k_2 N_{22} + P_3 = \bar{B}_{11}\ddot{U}_3, \quad Q_{11} = Q_1 + N_{11}\varepsilon_{13} + N_{12}\varepsilon_{23}, \quad (1 \leftrightarrow 2)$$

и естественные граничные условия на контурных линиях

$$N_{11} = 0, \quad N_{21} = 0, \quad Q_{11} = 0, \quad M_{11} = 0, \quad M_{21} = 0. \quad (6)$$

Дополняя соотношения (1)–(6) необходимым числом начальных условий, получим полную систему уравнений для анализа нелинейных процессов деформации композитных цилиндрических оболочек при неосесимметричных импульсных воздействиях.

Численный метод решения сформулированной начально-краевой задачи основывается на явной вариационно-разностной схеме [5].

2. Результаты решения задачи

Для верификации рассматриваемой методики было проведено сравнение численных расчетов с экспериментальными данными [2] по однократному нагружению изнутри цилиндрической оболочки импульсом давления, вызванным подрывом в ее геометрическом центре заряда ВВ массой $m = 0,135$ кг. В расчетах импульс давления задавался с помощью эмпирической зависимости

$$P_3(\alpha_1, t) = \begin{cases} 0,35mq/l^3 & \text{при } t \leq 0,35l/\sqrt{q}, \\ 0 & \text{при } t > 0,35l/\sqrt{q}, \end{cases}$$

где q – теплотворная способность ВВ; l – расстояние от центра заряда до точки внутренней поверхности оболочки. Оболочка получена намоткой восьми спиральных слоев (угол армирования $\varphi = \pm 45^\circ$) и кольцевых ($\varphi = 90^\circ$) слоев с отношением их толщин 1:1.

Оболочка имела следующие размеры: радиус внутренней поверхности $R = 0,15$ м, толщина $h = 0,009$ м, длина $L = 4R$.

Физико-механические характеристики однонаправленного композитного материала были равны $E_1 = 9,9$ ГПа, $E_2 = 54,1$ ГПа, $\nu_{12} = 0,051$, $G_{12} = G_{23} = 3,42$ ГПа, $G_{13} = 3,57$ ГПа, $\rho = 2,013 \cdot 10^3$ кг/м³.

В таблице 1 представлены результаты сравнения численных расчетов с экспериментальными данными по максимальным значениям кольцевой деформации e_{22}^* в центральном сечении оболочки на ее внешней поверхности и периоду радиальных колебаний T . Здесь в числителе приведены экспериментальные значения, а в знаменателе – численные.

Из приведенных результатов следует, что максимальная ошибка по амплитуде колебаний составила 18%, а по периоду колебаний – 4%. При этом следует заметить, что погрешность экспериментальных измерений достигала 10%.

Таблица 1

| | |
|----------------|-----------------------|
| e_{22}^* , % | $T \cdot 10^{-6}$, с |
| <u>2,45</u> | <u>235</u> |
| 2,00 | 225 |

Результаты численного анализа влияния углов армирования и схемы чередования слоев на окружные деформации в центральном сечении на внешней поверхности оболочки представлены на рис. 1–3. На рис. 1 приведены окружные деформации, отнесенные к координатам, связанным с направлением армирования, в зависимости от углов армирования в диапазоне $\pm 30 \div 90^\circ$.

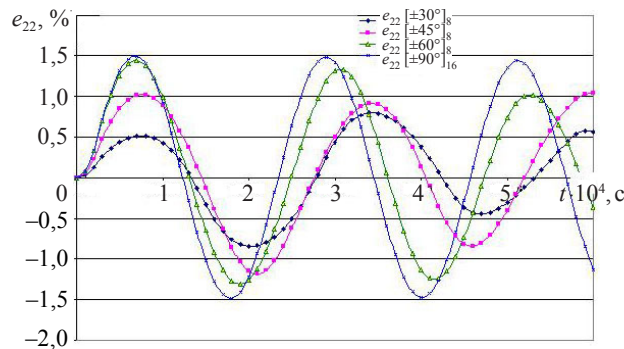


Рис. 1

На рис. 2 и 3 показаны зависимости, отражающие влияние схемы чередования спиральных и кольцевых слоев для структур армирования $[90^\circ_2 / \pm \varphi^\circ]_4$ и $[(\pm \varphi^\circ / 90^\circ)_5 / \pm \varphi^\circ]$ соответственно.

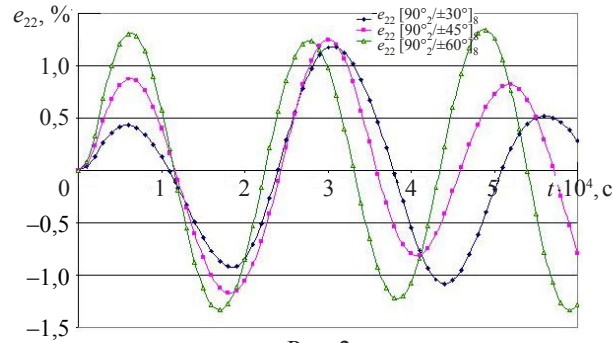


Рис. 2

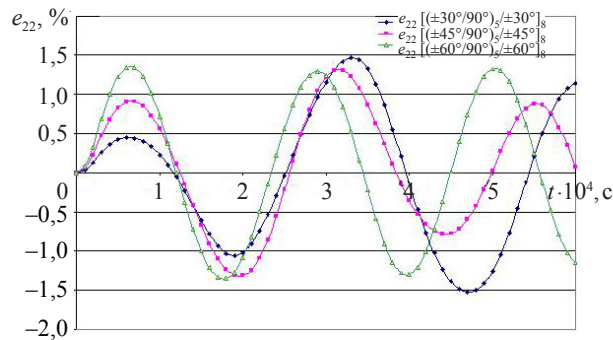


Рис. 3

Анализ полученных расчетных данных показал, что, как и следовало ожидать, динамическая реакция оболочки намоточного типа существенно зависит как от угла, так и от структуры армирования. Варьируя эти параметры, можно в разы уменьшить величину максимальных окружных деформаций внешней поверхности оболочки и тем самым повысить ее несущую способность. Видно также, что с этой точки зрения наиболее рациональной структурой обладают оболочки, полученные намоткой чередующихся спиральных и кольцевых слоев.

Заключение

Полученные расчетные данные позволяют сделать вывод о предпочтительности комбинированных структур армирования для повышения несущей способности цилиндрических оболочек намоточного типа при внутреннем взрывном нагружении и возможности решения соответствующих задач оптимизации.

Список литературы

1. Федоренко А.Г., Сырунин М.А., Иванов А.Г. Критерии выбора композитных материалов для оболочечных конструкций, локализирующих взрыв (обзор) // ФГиВ. 2005. Т. 41, №5. С. 3–13.
2. Федоренко А.Г., Сырунин М.А., Иванов А.Г. Влияние структуры армирования ориентированных стеклопластиков на прочность круговых цилиндрических оболочек при взрывном нагружении изнутри // Механика композитных материалов. 1991. № 4. С. 631–640.
3. Шаповалов Л.А. Об учете поперечного обжатия в уравнениях нелинейной динамики оболочек // Изв. РАН. МТТ. 1997. №3. С. 156–168.
4. Васильев В.В. Механика конструкций из композиционных материалов. М.: Машиностроение, 1988. 272 с.
5. Абросимов Н.А., Баженов В.Г. Нелинейные задачи динамики композитных конструкций. Н. Новгород: Изд-во ННГУ, 2002. 400 с.
6. Васидзу К. Вариационные методы в теории упругости и пластичности. М.: Мир, 1987. 512 с.

NUMERICALLY ANALYZING THE REINFORCEMENT STRUCTURE EFFECT ON THE DYNAMICAL BEHAVIOR OF COMPOSITE CYLINDRICAL SHELLS UNDER EXPLOSIVE LOADING

N.A. Abrosimov, A.V. Yelesin

A methodology for numerically analyzing the effect of reinforcement angles and the scheme of intermitting layers on maximum circumferential strains of layered composite cylindrical shells loaded by a single internal pressure pulse is considered.

Keywords: composite materials, pulsed loading, numerical methods.